

Устные доклады - «Геология, минералогия, география»

**АММОНИЙСОДЕРЖАЩИЙ ИЛЛИТ СЕВЕРО-КАМБАЛЬНЫХ  
ПАРОВЫХ СТРУЙ (ЮЖНАЯ КАМЧАТКА)**

А. В. Сергеева<sup>1</sup>, Е. С. Житова<sup>1,2</sup>

Работа посвящена изучению минерального (фазового) состава гидротермальных глин, сформированных на термальных полях Южной Камчатки. Исследуемые глины примечательны наличием в их составе (или структуре) аммония, что является следствием длительного контакта данной ассоциации с потоком гидротермального флюида. Цель работы состоит в определении минералов (фаз), в которых преимущественно локализуется катион аммония.

Во время полевых работ на Северо-Камбальских паровых струях (Южная Камчатка, Паужетско-Камбально-Кошелевский геотермальный район), были обнаружены образцы глин, в состав которых входят аммонийсодержащие минералы. Ассоциация находилась в контакте с потоком парогазовой смеси, имеющей температуру на выходе около 100 °C, и слагала стенки парогазовой струи. Минеральный и элементный состав исследуемой аммонийсодержащей ассоциации обусловлен влиянием потока парогазовой смеси. Из отобранных образцов была выделена глинистая фракция (седиментационный метод), которую перед инструментальным исследованием прокалили при температуре 105 °C для удаления поровой воды.

Образцы были исследованы методами ИК-спектроскопии (спектрофотометр с преобразованием Фурье IR Affinity) и рентгеновской дифрактометрии (дифрактометр XRD 7000). Запись спектров осуществлена в диапазоне волновых чисел 400 – 4000 см<sup>-1</sup>, с разрешением 4 см<sup>-1</sup>, число сканов 100. Диффактограммы образцов в воздушно-сухом и насыщенном глицерином состояниях были записаны в диапазоне углов 3 – 70 град. 2θ, скорость сканирования составляла 0,5 град./мин, что эквивалентно выдержке в точке 6 с. Уточнение профильных параметров было выполнено в программе

---

<sup>1</sup> Институт Вулканологии и Сейсмологии, Петропавловск-Камчатский,  
valraf2009@yandex.ru

<sup>2</sup> Санкт-Петербургский государственный университет, Санкт-Петербург

PowderCell 2.4 с помощью встроенного алгоритма, реализующего метод Ритвельда.

Дифрактограммы смеси представлены на рисунках 1, 2, базальные рефлексы – в таблице 1. В смеси определяются смектит, иллит (гидрослюдя), кварц, каолинит (рис. 1).

Таблица 1. Базальные рефлексы глинистых минералов аммонийсодержащих образцов

Воздушно-сухой		Насыщенный глицерином		Смектит <i>C2/m</i>	Иллит <i>C2/m</i>	Каолинит <i>C1</i>
2θ, град.	<i>d</i> , Å	2θ, град.	<i>d</i> , Å	<i>hkl</i>		
6,71	13,17	не фиксируется		001		
7,33	12,06	4,95	17,84	001		
6,12	14,44	6,27	14,10			
8,57	10,30	8,74	10,11		001	
12,43	7,12	-	-			001

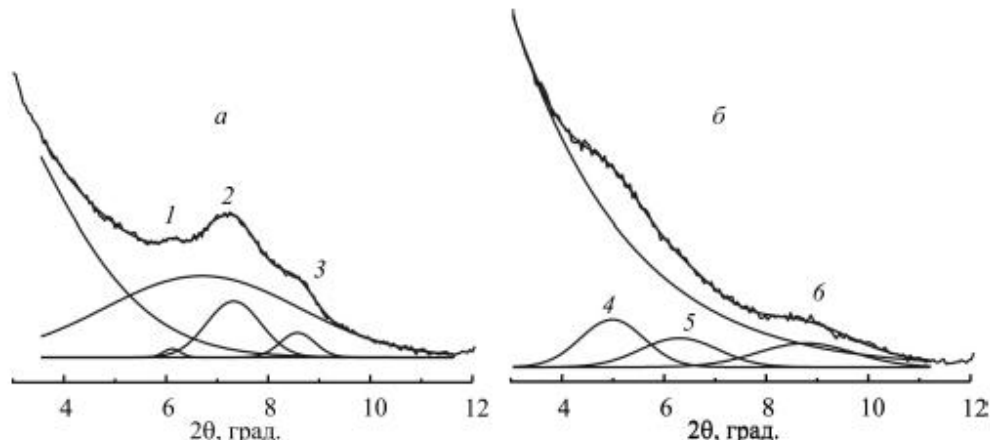


Рис. 1. Дифрактограмма смеси, содержащей аммонийный иллит; 1 – экспериментальная дифрактограмма, 2 – суммарная теоретическая дифрактограмма, теоретическая дифрактограмма кварца (3), Нa-монтмориллонита (4), аммонийсодержащего иллита (5), каолинита (6), разницы суммарной теоретической и экспериментальной дифрактограмм (7)

В малоугловой области фиксируются широкие рефлексы с центрами около 12,06 и 10,3 Å, принадлежащие Na-монтмориллониту

и иллиту соответственно. При насыщении глицерином первый рефлекс сдвигается в сторону малых углов до значения 17,84 Å, в то время как рефлекс около 10,3 Å практически не смещается. При профильтровании малоугловой части дифрактограммы, обнаруживаются широкие рефлексы с межплоскостными расстояниями около 13,7 и 14,44 Å, причем смещения этих рефлексов при насыщении глицерином не наблюдается. Характерно, что подобная картина отмечается для Mg-вермикулита. Рефлексы (060), расположенные в диапазоне 60 – 63 °2θ, отвечают межплоскостным расстояниям 1,497, 1,483, 1,476 Å, свойственным диоктаэдрическим филlosиликатам (Рентгенография., 1983; Chipera S. J., Bish D. L., 2001).

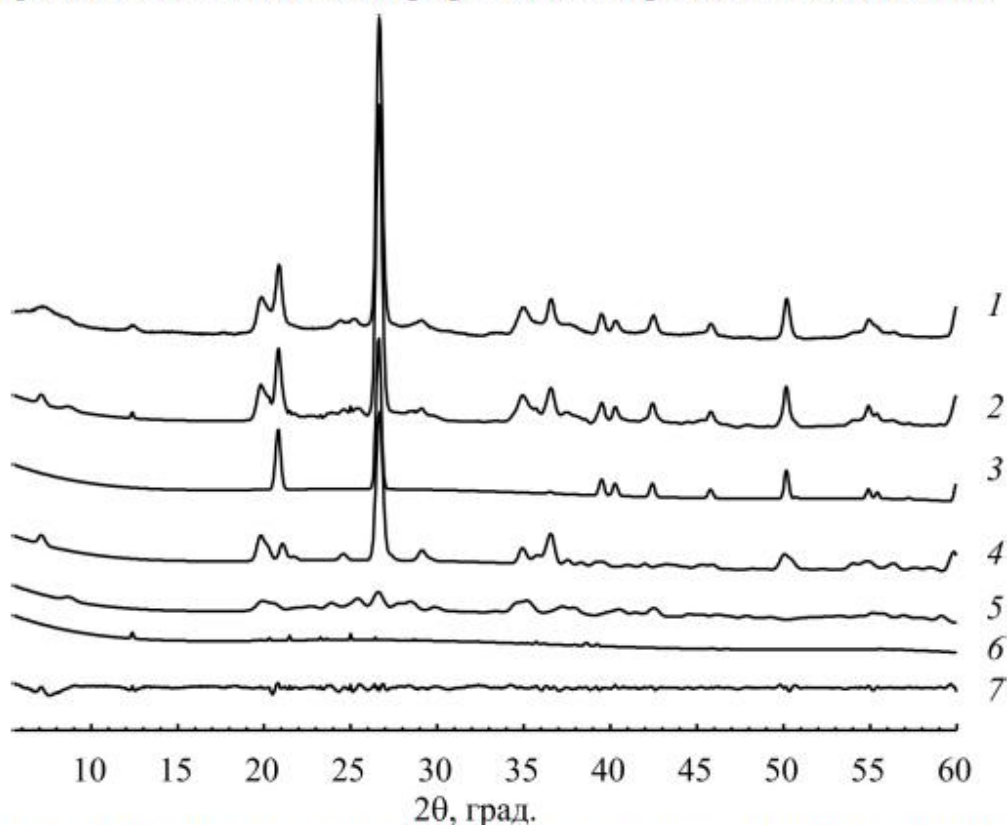


Рис. 2. Малоугловая часть дифрактограммы в воздушно сухом (a) и насыщенном глицерином состояниях (б), показаны рефлексы 14,43 Å (1), 12,05 Å (2), 10,3 Å (3); 17,84 Å (4), 14,09 Å (5), 10,1 Å (6)

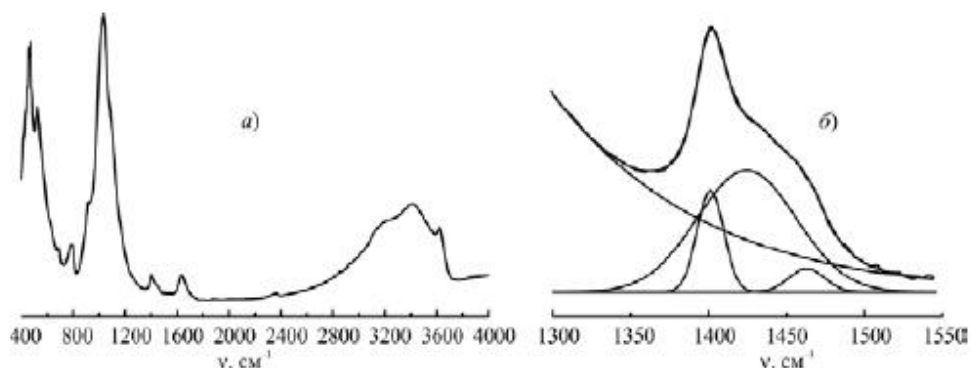
На инфракрасных спектрах присутствуют полосы поглощения смектита, иллита, кварца (рис. 3 а). Выделяются пики 470 ( $\delta(\text{Si}-\text{O}-\text{Si})$ ), 530 ( $\delta(\text{Me}^{\text{VI}}-\text{O}-\text{Si})$ ), 693 ( $v_4(\text{Si}-\text{O})$ ), 780, 795 ( $v(\text{Si}-\text{O})$ ,  $\alpha$ -кварц), 840 ( $\delta(\text{Al}-$

$\text{O}(\text{H})-\text{Mg}$ ), 915, 938 ( $\delta(\text{Al}-\text{O}(\text{H})-\text{Al})$ ), 1010 ( $v_1(\text{Si}-\text{O})$ ), 1034, 1100 ( $v_3(\text{Si}-\text{O})$ ) (Chukanov N. V. 2014; Madejova J. 2003).

В интервале 1400 – 1470  $\text{cm}^{-1}$  фиксируется четкая полоса поглощения, раскладывающаяся на несколько гауссовых составляющих (рис. 3 б, табл. 2), а в высокочастотной области обнаруживается серия частично перекрывающихся полос поглощения  $\text{NH}_4^+$ ,  $\text{H}_2\text{O}$ ,  $\text{HO}$ -группы (рис. 4).

*Таблица 2. Расщепление колебательных уровней  $\text{NH}_4^+$  в результате понижения симметрии  $T_d \rightarrow C2/m$*

Колебание (неприводимое представление)	$v_1(A_1)$	$v_2(E)$	$v_3(F_2)$	$v_4(F_2)$
Частота колебания изолированного $\text{NH}_4^+$ , $\text{cm}^{-1}$	3040	1680	3145	1400
Редукция $T_d \rightarrow C2$ (НП $C2/m$ )	$A(A_g)$	$2A(A_g + A_u)$	$A+2B$ $(A_g + B_g + B_u)$	$A+2B$ $(A_g + B_g + B_u)$
Измеренные частоты, $\text{cm}^{-1}$	3017	1666; 1738	3180; 3267; 3402	1401; 1424; 1463



*Рис. 3. ИК спектр образца, содержащего аммонийсодержащий иллит, в диапазонах 400 – 4000  $\text{cm}^{-1}$  (а), и фрагмент 1300 – 1550  $\text{cm}^{-1}$  с разложением на гауссова составляющие (б)*

Симметрия изолированного  $\text{NH}_4^+$  отвечает точечной группе  $T_d$ , катион имеет 4 нормальных колебания, преобразующихся по неприводимым представлениям  $A_1$ ,  $E$  и  $F_2$  (два колебания). Полоса около 1430  $\text{cm}^{-1}$ , которая у изолированного  $\text{NH}_4^+$  отвечает

нормальному колебанию  $F_2$  (трижды вырожденное неприводимое представление), на спектре имеет три составляющих, что указывает на низкую симметрию позиции катиона  $\text{NH}_4^+$  (табл. 3). В данном случае можно отметить, что местная симметрия позиции  $\text{NH}_4^+$  аммония не содержит элементов старше второго порядка. Эта ситуация согласуется с симметрией позиции  $2/m$ , в которой расположены обменные катионы (калия, натрия, кальция, аммония и др.) в кристаллах иллита и смектита.

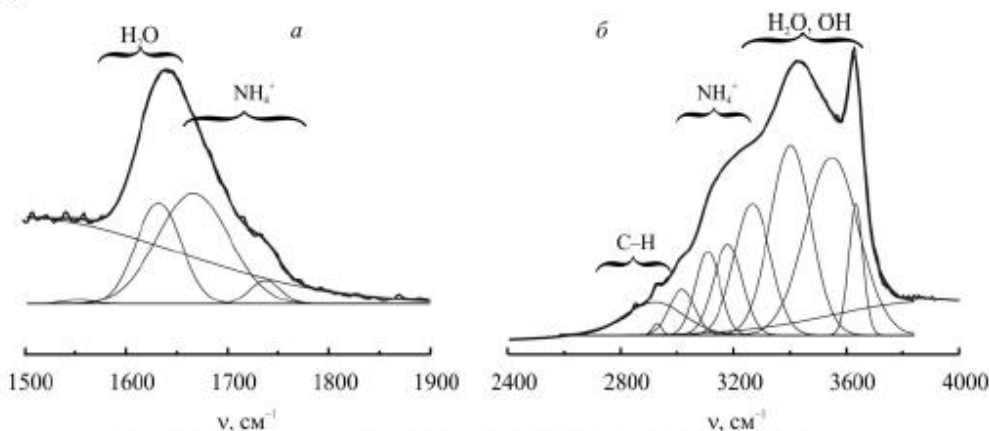


Рис. 4. Фрагменты спектра образцов, состоящих преимущественно из аммонийсодержащего иллита, в диапазоне 1500 – 1900  $\text{cm}^{-1}$  (а) и 2000 – 4000  $\text{cm}^{-1}$  (б)

Аммоний может быть локализован в межслоевом пространстве иллита и смектита, но более вероятно, что он сосредоточен преимущественно в иллите. Катионы  $\text{K}^+$  и  $\text{NH}_4^+$  обладают сходными размерами и, как следствие, некоторыми сходными свойствами (Лурье Ю. Ю., 1989). Ожидаемо, что способность калия к формированию иллита распространяется и на аммоний, поэтому наличие  $\text{NH}_4^+$  в межслоевом пространстве филосиликата будет приводить к потере способности к набуханию и формированию иллита.

*Работа выполнена при поддержке гранта РФФИ 16-05-0007, проект ДВО РАН № 15 -I-2-065.*

Chipera S. J., Bish D. L. Baseline studies of the clay minerals society source clays: powder x-ray diffraction analyses. // Clays and Clay Minerals. 2001. Vol. 49. No. 5. p. 398-409.

Chukanov N. V. Infrared spectra of mineral species. Extended library. 2014. Volume 1. 1726 P.

Madejova J. FTIR techniques in clay mineral studies. // Vibrational Spectroscopy. 2003. № 31. p. 1-10.

Лурье Ю. Ю. Справочник по аналитической химии. М.: Химия. 1989. 448 с.

Рентгенография основных типов пордообразующих минералов (слоистые и каркасные силикаты). Под ред. В. А. Франк-Каменецкого. Л.: Недра. 1983. 359 с.